

**СРАВНЕНИЕ РЕЗУЛЬТАТОВ  
КЛАССИЧЕСКОГО ДИФФУЗИОННОГО И КВАНТОВОГО РАСЧЕТОВ  
КОЛЕБАТЕЛЬНО-ПОСТУПАТЕЛЬНОЙ РЕЛАКСАЦИИ  
ДВУХАТОМНЫХ МОЛЕКУЛ**

*M. H. Сафарян, O. B. Скребков*

(Москва)

В [1] на основе численного решения диффузионного уравнения из [2] было проведено исследование колебательной релаксации ангармонических осцилляторов в среде инертного газа, определено относительное влияние ангармоничности на кинетику функции распределения и средней энергии, выявлена зависимость релаксации средней энергии системы от степени отклонения ее от равновесия в каждый момент времени и т. д. Возникает вопрос, насколько результаты [1] применимы к квантовым системам, и в более общем виде, каковы границы применимости классического диффузионного расчета. Для количественного ответа на этот вопрос необходимо провести последовательное сравнение с соответствующим квантовомеханическим расчетом. Такое сравнение выполнено в данной работе (см. [3]).

Обозначения:  $\epsilon$  — колебательная энергия;  $\epsilon_i$  — энергия, соответствующая  $i$ -му колебательному уровню;  $f(\epsilon, t)$  — функция распределения;  $f_i(t)$  — заселенность  $i$ -го уровня;  $f^0$  и  $f_i^0$  — равновесные (при температуре  $T$ ) значения;  $T$  — температура термостата;  $T_0$  — начальная колебательная температура;  $\bar{\epsilon}(t)$  — средняя энергия,  $\bar{\epsilon}_0$  — энергия в начальный момент времени;  $\tau_1$  — время колебательной релаксации гармонических осцилляторов;  $\omega_0, \mu, D$  — основная частота, приведенная масса и энергия диссоциации осциллятора;  $N$  — число уровней квантового осциллятора;  $\xi_0$  — параметр адабатичности;  $\xi_0 = (\omega_0 \mu / \alpha) \sqrt{M/2kT}$  ( $M$  — приведенная масса осциллятора и частицы термостата,  $\alpha$  — параметр потенциала межмолекулярного взаимодействия);  $F(t)$  — спла, действующая на осциллятор в результате столкновения;  $P_{ik}$  — вероятность перехода осциллятора с  $i$ -го на  $k$ -й уровень в единицу времени;  $a = D/kT$ ,  $a_0 = D/kT_0$ ,  $\omega_{ik} = (1/\hbar) |\epsilon_i - \epsilon_k|$ ,  $\tau = t/\tau_1$ ,  $\varphi = f/f^0$ ,  $\varphi_i = f_i/f_i^0, x = \epsilon/D$ ,  $\theta = \hbar\omega/kT$ ,  $\theta_0 = \hbar\omega_0/kT_0$ .

**1. Постановка вопроса. Исходные уравнения.** Классический и квантовый способы расчета, как известно, эквивалентны при условии

$$(1.1) \quad \theta_{\max} = \hbar\omega_0/kT_{\min} \ll 1$$

( $T_{\min}$  — наименьшее из значений  $T$  и  $T_0$ ). Это условие достаточное, но при определении ряда кинетических характеристик оно может быть и не необходимым. Фактически еще одной величиной, определяющей возможность применения классического метода расчета к квантовым системам, является момент времени кинетического процесса. Известно, что уравнение фоккер-планковского типа при сильно градиентной начальной функции распределения не описывает ранние (очень короткие по сравнению с временем релаксации) моменты времени, но, начиная с некоторого момента, для применимости этого уравнения величина начального градиента роли не играет. С другой стороны, если для начально сильновозбужденных осцилляторов не интересоваться окоравновесным состоянием системы, а при  $T_0 \ll T$ , напротив — ранними моментами времени, то вместо условия (1.1) можно принять

$$(1.2) \quad \theta(t) \cong \hbar\omega_0/\bar{\epsilon}(t) \ll 1, \quad \theta(t) < \theta_{\max},$$

где  $\bar{\varepsilon}(t)$  — средняя энергия осциллятора в интересующие нас моменты времени; оценку моментов времени, для которых выполняется (1.2), можно получить с помощью приближенного соотношения  $\bar{\varepsilon}(t) = \bar{\varepsilon}_p - (\bar{\varepsilon}_p - \bar{\varepsilon}_0)e^{-t/\tau_k}$  ( $\tau_k$  — время колебательной релаксации осцилляторов,  $\bar{\varepsilon}_p$  — равновесное значение  $\bar{\varepsilon}(t)$ ,  $\bar{\varepsilon}_p = \bar{\varepsilon}$  при  $t \rightarrow \infty$ ). Это менее жесткое, чем (1.1), условие объясняется тем, что область существенного изменения кинетических характеристик  $\bar{\varepsilon}$ ,  $\varepsilon \geq \bar{\varepsilon}(t)$ , т. е. масштаб задачи, зависит от времени. Таковы качественные аргументы в пользу более широкой, чем следует из (1.1), области применения классического метода расчета.

Чтобы выяснить, до каких конкретно значений  $\theta$ , для каких конкретно величин и моментов времени можно пользоваться результатами классического описания процесса, необходимо, как уже отмечалось, провести последовательное сравнение с соответствующим квантовомеханическим расчетом. При этом в основу сравниваемых классического и квантовомеханического расчетов кинетики процесса должны быть заложены эквивалентные допущения о характере взаимодействия осцилляторов с термостатом; ниже записаны исходные уравнения, удовлетворяющие этому требованию.

В классическом описании кинетики процесса использовалось уравнение диффузионного типа из [2], которое можно записать в виде (подробнее см. [1,2])

$$(1.3) \quad \frac{\partial f}{\partial t} = \frac{\partial}{\partial \varepsilon} \left\{ B f^0 \frac{\partial \Phi}{\partial \varepsilon} \right\}, \quad \frac{\partial f}{\partial t} = 2\eta_1 kT \mu \frac{\partial}{\partial \varepsilon} \left\{ \left[ \sum_{n=1}^N (n\omega)^2 |r_n|^2 \mathcal{F}_n \right] f^0 \frac{\partial \Phi}{\partial \varepsilon} \right\},$$

где

$$(1.4) \quad \eta_1 = \frac{1}{2\tau_0} \frac{|F_{\text{г.о}}|^2}{\mu k T} \equiv (\tau_1)^{-1}; \quad \mathcal{F}_n(\varepsilon, \xi_0) = \frac{\langle |F_n|^2 \rangle}{\langle |F_{\text{г.о}}|^2 \rangle};$$

$F_n$  и  $F_{\text{г.о}}$  — фурье-компоненты силы соответственно для частоты  $\omega$  и  $\omega_0$ ;  $r_n$  — фурье-компоненты невозмущенного колебательного движения  $r(t)$  осциллятора; угловые скобки означают усреднение по всем параметрам столкновения;  $\tau_0$  — время свободного пробега молекул.

Квантовомеханический вариант расчета состоит в решении системы балансных уравнений

$$(1.5) \quad \begin{aligned} \frac{df_i}{dt} = & -f_i \left( \sum_{k=i-1}^0 P_{ik} + \sum_{k=i+1}^N P_{ik} \right) + \sum_{k=0}^{i-1} f_k P_{ki} + \\ & + \sum_{k=i+1}^N f_k P_{ki}, \quad i = 1, 2, \dots \end{aligned}$$

Соответственно рассматриваемой задаче для  $P_{ik}$  следует использовать полуklassические (поступательное движение рассматривается классически, колебательное — квантовомеханически) значения, полученные в первом порядке теории возмущения для линейного по  $r$  потенциала межмолекулярного взаимодействия (см. [4]), которые можно записать в виде

$$P_{ik} = \frac{4}{\tau_0} \langle p_{ik} \rangle, \quad \langle p_{ik} \rangle = |r_{ik}|^2 \frac{1}{\hbar^2} \langle |F_{ik}|^2 \rangle,$$

где  $r_{ik}$  — матричные элементы невозмущенного осциллятора;  $F_{ik}$  — фурье-компоненты силы для частоты  $\omega_{ik}$ , а значение  $F(t)$  то же, что в (1.4).

По аналогии с (1.3) запишем  $P_{ik}$  в виде

$$(1.6) \quad P_{ik} = \frac{1}{\tau_0} \langle p_{10} \rangle \frac{2\pi\omega_0}{\hbar} |r_{ik}|^2 \mathcal{F}_{ik}, \quad \mathcal{F}_{ik} = \frac{\langle |F_{ik}|^2 \rangle}{\langle |F_{10}|^2 \rangle}.$$

Система уравнений (1.5) с учетом (1.6) есть квантовомеханический аналог уравнения (1.3), (1.4): допущения, положенные в основу расчетов коэффициента диффузии  $B$  и вероятностей  $P_{ik}$ , полностью совпадают. Результаты расчета кинетики процесса, полученные в [1], следует сопоставить с решением (1.5), (1.6).

При слабом взаимодействии вклад членов, учитывающих переходы  $i \rightarrow k$  с  $k \neq i \pm 1$ , не является определяющим, а при адиабатическом взаимодействии ( $\xi_0 \gg 1$ ) ими можно полностью пренебречь. С другой стороны, именно в случае  $\xi_0 \gg 1$  следует ожидать наибольшее отличие результатов классического расчета от квантового, поскольку при этом, как правило, реализуются значения  $\theta \gtrsim 1$ . Условие одноквантности переходов для классического уравнения означает пренебрежение в коэффициенте диффузии  $B$  из (1.3) всеми членами с  $n > 1$ . При  $\theta \ll 1$  система уравнений, которая следует из (1.5) с учетом (1.6) при  $P_{ik} = 0$ , если  $i \neq k \pm 1$ , должна переходить в соответствующее дифференциальное уравнение. Такой переход даст связь между  $P_{10}$  и  $\eta_1$ . Из (1.5) при  $k = i + 1$  с учетом  $f_{i+1}^0/f_i^0 = P_{i+1,i}/P_{i,i+1}$  в приближении  $\omega_{i+1,i} \simeq \omega_{i,i-1} = \omega_i$  имеем

$$(1.7) \quad \frac{1}{\omega_i} f_i^0 \frac{d\Phi_i}{dt} = \frac{\Delta_{i+1,i}}{\hbar\omega_{i+1}} \left\{ B(\varepsilon_i) \frac{f_i^0}{\omega_i} \frac{\Delta_{i,i-1}\Phi}{\hbar\omega_i} \right\}, \quad \Delta_{i+1,i} A_i = A_{i+1} - A_i;$$

$$(1.8) \quad B(\varepsilon_i) = P_{i,i-1} (\hbar\omega_i)^2.$$

При  $\theta \ll 1$  имеем

$$\begin{aligned} \frac{\Delta_{i+1,i}}{\hbar\omega_{i+1}} &\rightarrow \frac{\partial}{\partial \varepsilon}, \quad \frac{f_i^0}{\omega_i} \rightarrow f^0(\varepsilon_i) G \\ \left( G = \int \frac{e^{-\varepsilon/kT}}{\omega(\varepsilon)} d\varepsilon / \sum_l e^{-\varepsilon_l/kT} \right), \end{aligned}$$

и (1.7) переходит в уравнение

$$(1.9) \quad f^0 \frac{\partial \Phi}{\partial t} = \frac{\partial}{\partial \varepsilon} \left\{ (\hbar\omega)^2 P_{i,i-1} f^0 \frac{\partial \Phi}{\partial \varepsilon} \right\} (\varepsilon = \varepsilon_i)$$

Из сравнения (1.9) с (1.3), где  $n = 1$ , следует

$$\eta_1 = \frac{\hbar\omega_0}{kT} P_{10} = \frac{\theta}{1 - \exp(-\theta)} \frac{1}{(\tau_1)_{\text{кв}}},$$

где  $(\tau_1)_{\text{кв}}$  есть время колебательной релаксации квантовых гармонических осцилляторов.

Величина  $\tau_1$  в наших расчетах служит временным масштабом кинетического процесса, причем в классическом расчете она соответствует времени релаксации классических гармонических осцилляторов  $(\tau_1)_{\text{кл}} = \eta_1^{-1}$ , а в квантовомеханическом — квантовых  $(\tau_1)_{\text{кв}}$  (индексы кл и кв в дальнейшем опускаются). Величины  $(\tau_1)_{\text{кл}}$  и  $(\tau_1)_{\text{кв}}$  совпадают, если выполняется условие  $\theta/2 \ll 1$ , что следует из  $1 - (1 - \exp(-\theta))/\theta \ll 1$ .

В [1] предметом исследования являлись величины, характеризующие относительное влияние ангармоничности колебаний. Последнее существенно в случае сравнительно высоких значений  $T$  и  $T_0$  (или  $\xi_0$ ); в частности, в [1] рассматривались процессы, в которых  $a = D/kT \leq 50$ , здесь это условие в основном сохраняется. Отметим, что при температурах термостата, соответствующих значениям  $a \leq 50$ , для всех двухатомных молекул  $\theta \leq 4$ , а для  $O_2$ ,  $N_2$ ,  $NO$ ,  $CO$ ,  $Br_2$ ,  $I_2$ ,  $Cl_2$   $\theta \leq 1$ .

**2. Сравнение результатов расчета при условии одноквантовости переходов ( $\xi_0 \gg 1$ ).** Ниже приведены результаты конкретного сравнения решений уравнения (1.3) (в котором учтен лишь член с  $n = 1$ ) и системы (1.5) при  $k = -i \pm 1$ . Здесь и далее для  $F_n$  и  $F(t)$  используются те же значения, что и в [1, 2]; молекула также моделируется осциллятором Морзе.

**Релаксация функции распределения.** Рассмотрим сначала процесс в случае начального больцмановского распределения с температурой  $T_0$

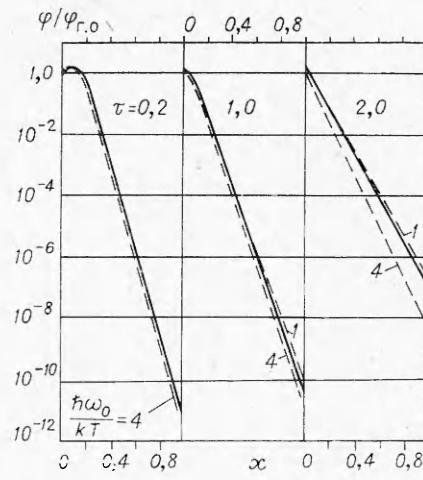
$$(2.1) \quad f(x, 0) = C \frac{\exp(-a_0 x)}{\sqrt{1-x}},$$

постоянная  $C$  определяется из условия нормировки.

Сравнение \* величин  $\varphi$  (решение уравнения (1.3),  $n = 1$ ) и  $\varphi_i$  (решение системы (1.4),  $k = i \pm 1$ ) для процесса дезактивации ( $a_0 = 7$ ,  $a = 40$ ) при различных значениях  $\theta$  показало, что для  $\theta \leq 1$  практически (с погрешностью, не превышающей 10–20%)  $\varphi$  совпадает с  $\varphi_i$ . Для  $\theta = 4$  наибольшее различие между  $\varphi$  и  $\varphi_i$  ( $\sim 3$  раза) имеет место в моменты времени, близкие к начальному ( $\tau \leq 0,2$ ), но в моменты  $\tau \geq 1$  отличие  $\varphi$  от  $\varphi_i$  становится несущественным.

Величины  $(\varphi/\varphi_{f,0})_{kv}$  и  $(\varphi/\varphi_{f,0})_{kl}$ ,  $(\varphi/\varphi_{f,0} \cong f/f_{f,0})$ , характеризующие относительное влияние ангармоничности в квантовом ( $\theta = 1$  и 4) и классическом случаях, приведены на фиг. 1 (процесс термической дезактивации:  $a_0 = 7$ ,  $a = 40$ ,  $\xi_0 = 30$ , сплошная линия — классический расчет, штриховая — квантовый расчет). Для систем, удовлетворяющих условию  $\theta \leq 1$ , результаты расчета величины  $\varphi/\varphi_{f,0}$  ( $\varphi_{f,0}$  — функция распределения гармонических осцилляторов, отнесенная к своему равновесному значению) практически совпадают с соответствующими результатами квантового рассмотрения. Для систем с большим колебательным квантумом ( $\theta = 4$ ) последнее относится только к моментам времени, меньшим времени релаксации ( $\tau < 1$ ). При  $\tau \geq 1$  значительное (до двух порядков на верхних уровнях при  $\theta = 4$ ) различие между  $(\varphi/\varphi_{f,0})_{kv}$  и  $(\varphi/\varphi_{f,0})_{kl}$  обусловлено отличием  $(\varphi_{f,0})_{kv}$  и  $(\varphi_{f,0})_{kl}$ ; для последних, как известно, имеются аналитические решения.

Обобщая эти результаты, можно сказать, что в начальной стадии процесса дезактивации ( $\tau < 1$ ) универсальной (т. е. мало чувствительной к значению  $\hbar\omega_0/kT$ ) величиной является отношение  $\varphi/\varphi_{f,0}$ , полученное в результате классического расчета. В последующих (более близких

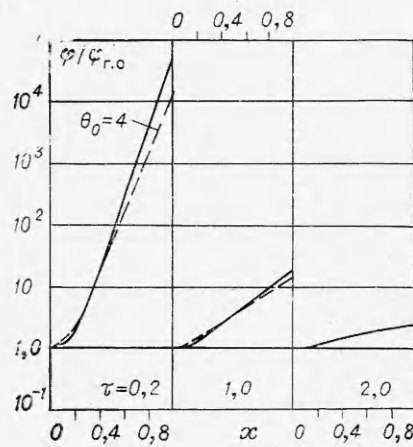


Фиг. 1

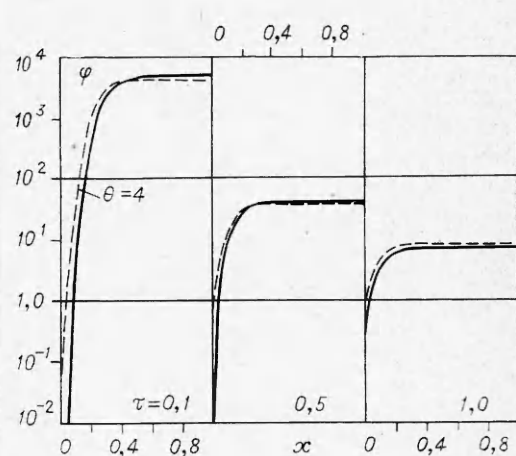
\* Для функций распределения сравнение проводится при значениях  $\epsilon := \epsilon_i = \hbar\omega_0 i (1 - i/2N)$ .

к равновесию) стадиях процесса ( $\tau \geq 1$ ) это относится к величине  $\varphi$ , являющейся классическим аналогом величины  $\varphi_i = f_i/f_i^0$ .

Как и при дезактивации, в случае возбуждения колебаний, т. е. при  $T > T_0$ , результаты классического расчета величин  $\varphi/\varphi_{r.o}$  и  $\varphi$  совпадают в течение всего процесса релаксации с соответствующими результатами квантового расчета при выполнении условия  $\theta_0 \ll 1$ . На фиг. 2 приведены величины  $(\varphi/\varphi_{r.o})_{\text{кл}}$  и  $(\varphi/\varphi_{r.o})_{\text{кв}}$  процесса возбуждения колебаний ( $a_0 =$



Фиг. 2



Фиг. 3

$= 40$ ,  $a = 10$ ,  $\xi_0 = 20$ , сплошная линия — классический расчет и квантовый при  $\theta_0 = 1$ , штриховая — квантовый при  $\theta_0 = 4$ ). Видно, что эти величины практически совпадают в течение всего процесса релаксации; их различие на верхних уровнях ( $x > 0,6$ ) в начальной стадии процесса можно не принимать во внимание из-за слабой заселенности этих уровней в начале процесса возбуждения. Сравнение величин  $\varphi$  и  $\varphi_i$  для процесса возбуждения колебаний при  $\theta_0 = 4$  показало, что они совпадают лишь для моментов времени  $\tau \geq 1$ .

В случае начального инверсного распределения вида

$$(2.2) \quad f(x, 0) = C \exp(-p(x - x_m)^2), \quad p \gg 1$$

классическое рассмотрение также достаточно точно описывает процесс релаксации функции распределения в областях энергии возбуждения, имеющих существенную заселенность (в начальной стадии процесса это  $x \approx x_m$ ) (фиг. 3.  $\varphi(x, \tau)$  в процессе термической дезактивации начального инверсного распределения (2.2),  $a = 40$ ,  $x_m = 0,35$ ,  $\xi_0 = 30$ ).

*Релаксация средней колебательной энергии.* Относительное влияние ангармоничности на характерное время релаксации средней энергии осцилляторов характеризуется величиной  $g$  [1], которая определяется из соотношения

$$g(\tau) = \tau / \ln [(\bar{\varepsilon}_0 - \bar{\varepsilon}_p)/(\bar{\varepsilon}(\tau) - \bar{\varepsilon}_p)].$$

Количественное сравнение величин  $g_{\text{кл}}$  и  $g_{\text{кв}}$  показало, что для систем, удовлетворяющих условию  $\theta$  (или  $\theta_0 \ll 1$ ), классический результат для величины  $g$  с достаточной точностью согласуется с квантовым:  $(g_{\text{кл}} - g_{\text{кв}})/g_{\text{кв}} < 0,1$ . Для систем с большим колебательным квантам отли-

чие  $g_{\text{кл}}$  от  $g_{\text{кв}}$  может быть более значительным: при  $\theta = 4$  оно достигает 1,5 раза в сторону усиления эффекта ангармоничности. Для процесса дезактивации колебаний последнее относится, однако, лишь к моментам  $\tau > 1$ ; для начальной же стадии ( $\tau \leq 0.5$ ) при  $\theta = 4$  и при достаточно высоких значениях  $T_0(a_0 \approx 10)$  в качественном согласии с (1.2) имеет место близкое (с точностью  $\approx 10\%$ ) совпадение величин  $g_{\text{кл}}$  и  $g_{\text{кв}}$ .

Практически интересной и измеряемой в экспериментах величиной является отношение характерных времен возбуждения колебаний  $\tau_a$  и дезактивации  $\tau_d$ . Сравнение классических результатов с квантовыми показывает, что величина  $\tau_a/\tau_d$ , определенная в классическом рассмотрении, отличается от соответствующей величины, определенной из квантового рассмотрения ( $\theta$  или  $\theta_0 = 4$ ), не более чем на 15—20%.

**3. Диффузионное уравнение в конечных разностях. Учет влияния неоднокvantовых переходов.** Уравнение (1.7) является фактически для случая  $\xi_0 \gg 1$  диффузионным уравнением в конечных разностях, не содержащим ограничения на величину  $\theta$ ; оно эквивалентно системе квантовых уравнений (1.5) при условии  $P_{ik} = 0$ , если  $n = |i - k| > 1$ .

Это уравнение соответствует учету в коэффициенте  $B$  только члена с  $n = 1$ ; из непосредственной аналогии  $r_{ik}$  с  $r_n$  и  $F_{ik}$  с  $F_n$ , (ср. (1.6) со слагаемыми суммы в (1.3)) можно видеть, что последующие члены соответствуют вкладу многокvantовых переходов в коэффициент  $B$ . Эти члены меньше первого, но их учет для не (и слабо) адиабатического (для случая  $\xi_0 \leq 5$ ) взаимодействия заметно влияет на релаксацию функции распределения высоковозбужденных осцилляторов. С другой стороны, при определенных предположениях можно получить уравнение, подобное (1.7), учитывающее многокvantовые переходы. Приведем (1.5) к виду

$$(3.1) \quad f_i^0 \frac{d\varphi_i}{dt} = \sum_{n=1}^{N-i} P_{i+n,i} \omega_{i+n,i}^2 \frac{f_{i+n}^0}{\omega_{i+n,i}} \frac{\Delta_{i+n,i}\Phi}{\omega_{i+n,i}} - \\ - \sum_{n=1}^i P_{i,i-n} \omega_{i,i-n}^2 \frac{f_i^0}{\omega_{i,i-n}} \frac{\Delta_{i,i-n}\Phi}{\omega_{i,i-n}}, \\ \Delta_{sp} = \varphi_s - \varphi_p, n = |i - k|,$$

используем допущения

$$(3.2) \quad n \ll N, \omega_{i+n,i} \approx n\omega_{i+1,i};$$

$$(3.3) \quad \frac{f_{i+n}^0}{\hbar\omega_{i+n,i}} \frac{\Delta_{i+n,i}\Phi}{\hbar\omega_{i+n,i}} \approx \frac{f_{i+1}^0}{\hbar\omega_{i+1,i}} \frac{\Delta_{i+1,i}\Phi}{\hbar\omega_{i+1,i}}, \\ \frac{f_i^0}{\hbar\omega_{i,i-n}} \frac{\Delta_{i,i-n}\Phi}{\hbar\omega_{i,i-n}} \approx \frac{f_i^0}{\hbar\omega_{i,i-1}} \frac{\Delta_{i,i-1}\Phi}{\hbar\omega_{i,i-1}}.$$

С учетом (3.3) (3.1) переходит в уравнение типа (1.7), в котором вместо (1.8) для коэффициента диффузии имеем

$$(3.4) \quad B(\varepsilon_i) \cong (\hbar\omega_{i,i-1})^2 \sum_n n^2 P_{i,i-n}.$$

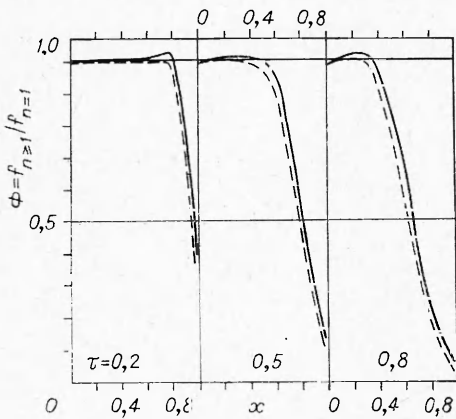
В пределе  $\theta \ll 1$  (1.7) с учетом (3.4) переходит в уравнение (1.3). При любых значениях  $\theta$  (1.7) с учетом (3.4) есть диффузионное уравнение в конечных разностях, приближенно учитывающее влияние многокvantовых переходов; насколько точен этот учет, зависит от величины  $\theta$ , и, как показывают расчеты, для применимости (1.7) с учетом (3.4) следует к ограничениям (3.2) добавить условие  $\theta \leq 1$ .

Уравнение (1.7) с учетом (3.4) формально совпадает с системой (1.5) в случае  $k = i \pm 1$ , если за вероятность одноквантовых переходов принять некоторое эффективное значение

$$(3.5) \quad (P_{i,i-1})_{\text{эфф}} = \sum_n n^2 P_{i,i-n},$$

позволяющее приближенно учесть многоквантовые переходы в одноквантовой схеме расчета \*.

Далее приведены результаты сравнения решений (1.5) и (1.7) с учетом (3.4) (или (1.5) и (1.5) с учетом (3.5)), а также оценка влияния многоквантовых переходов при различных значениях  $\xi_0$ , следующая из точного решения системы (1.5).



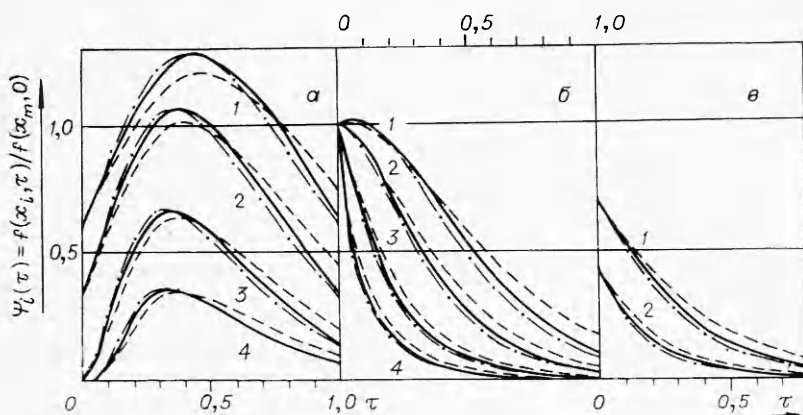
Фиг. 4

На фиг. 4 для процесса дезактивации распределения (2.1) приведена величина  $\Phi(x, \tau)$  — отношение функции распределения, рассчитанной с учетом многоквантовых переходов ( $f_{n>1}$ ), к функции распределения, рассчитанной в предположении только одноквантовых переходов ( $f_{n=1}$ ) ( $a_0 = 7, a = 40, \theta = 1 (N = 80), \xi_0 = 2$ , сплошная линия — расчет по уравнениям (1.5), штриховая — по уравнениям (1.7) с учетом (3.4)). Для случая  $\theta = 1$  учет влияния многоквантовых переходов приближенной моделью — (1.7) с учетом (3.4) (или (1.5),  $|k - i| = 1$ , с учетом (3.5))

— с хорошей точностью соответствует точному расчету по уравнениям (1.5) при  $|k - i| \geq 1$ . Аналогичный вывод имеет место для значений  $\xi_0 = 0$  и  $4$  (соответствующие графики опущены).

Как показывают расчеты, результаты сравнения точного и приближенного способов учета влияния многоквантовых переходов при  $\xi_0 \leq 1$  и  $\theta \leq 1$ , полученные в случае релаксации начального больцмановского распределения (см. фиг. 4), можно перенести и на случай релаксации начального инверсного распределения типа (2.2). При этом следует отметить слабую зависимость результатов такого сравнения от характерной ширины инверсного распределения  $\delta = 1/\sqrt{2p}$  (исследовалась область изменения  $\delta : 0,025 \leq \delta \leq 0,15$ ). На фиг. 5 приведены зависимости  $\Psi_i(\tau) = f(x_i, \tau)/f(x_m, \tau)$  при  $\xi_0 = 2$  и  $\theta = 1$  для процесса дезактивации распределения (2.2) с  $x_m = 0,506$  ( $m = 24$ ),  $a = 40$  и различных  $\delta$  ( $1 - \delta = 0,15, p = 22,2; 2 - \delta = 0,1, p = 50; 3 - \delta = 0,5 \cdot 10^{-1}, p = 200; 4 - \delta = 0,25 \cdot 10^{-1}, p = 800$ ); они характеризуют изменение во времени относительной заселенности для трех фиксированных значений  $x_i : x_i < x_m, x_i = x_m, x_i > x_m (16 \leq i \leq 32)$  ( $a - x_i = 0,358, i = 16; b - x_i = x_m = 0,506, i = m = 24; b - x_i = 0,635, i = 32$ ). В этой энергетической области влияние многоквантовых переходов сравнительно

\* Способ приближенной оценки влияния многоквантовых переходов в одноквантовой схеме расчета путем замены  $P_{i,i-1}$  на  $(P_{i,i-1})_{\text{эфф}}$  использовался также в [5] при рассмотрении распределения атомов по возбужденным состояниям; в целом для кинетики низкотемпературной плазмы вопросы диффузационного описания рассматривались во многих работах (см. Биберман Л. М. и др. К теории неравновесной низкотемпературной плазмы. — В кн.: МГД-метод получения электроэнергии. М., «Энергия», 1968).

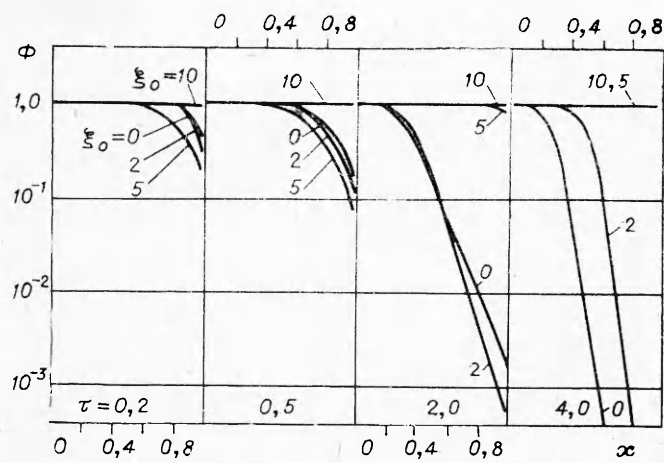


Фиг. 5

невелико (см. фиг. 4), и диффузионная модель — (1.7) с учетом (3.4) (штрихпунктирные кривые) — правильно учитывает это влияние (сплошные кривые соответствуют точному расчету, а штриховые — одноквантовому). Фиг. 5 иллюстрирует также зависимость кинетики процесса дезактивации инверсного распределения (2.2) от его ширины: для больших  $\delta$  наблюдается сужение распределения и, следовательно, увеличение пика инверсности, а при малых  $\delta$  пик просто размывается.

Отметим, что для  $\xi_0 \leqslant 1$  существенно иная картина наблюдается при сравнении зависимостей  $\Phi(x, \tau)$  и  $\Psi_i(\tau)$ , найденных из точного (система (1.5)) и приближенного (уравнение (1.7) с учетом (3.4)) расчетов, если  $\theta = 4$  ( $a = 40$ ,  $N = 20$ ). В этом случае ( $\theta = 4$ ) влияние многоквантовых переходов учитывается диффузионной моделью ((1.7) с учетом (3.4)) приближенно правильно только при высоких степенях возбуждения осцилляторов ( $x_i \gtrsim 0,7$ ); в остальной же области энергий возбуждения величины ( $f_{n \geq 1} - f_{n=1}$ ), полученные в точном и приближенном расчетах, имеют разные знаки.

Фиг. 6 иллюстрирует влияние многоквантовых переходов на релаксацию функции распределения в процессе дезактивации для  $\theta = 1$ ,



Фиг. 6

$N = 80$ ,  $a_0 = 7$ ,  $a = 40$  при различных значениях параметра адиабатичности  $\xi_0$  (расчет по диффузионному уравнению (1.7) с учетом (3.4)); даны результаты численного решения системы (1.5) при  $k = i \pm 1$  с вероятностями (3.5) (или (1.7) с учетом (3.4), что однозначно), приведена величина  $\Phi_i(t)$ . Как показывают расчеты, соответствующая величина  $\Phi(x, t)$ , полученная в классическом приближении, т. е. отношение  $f(x, t)$ , рассчитанной с  $B = \sum_n B_n$ , к  $f(x, t)$ , рассчитанной с  $B = B_1$ , практически совпадает с результатами, приведенными на фиг. 6.

Из фиг. 6 можно видеть, что влияние многоквантовых переходов сводится к уменьшению  $f_i(t)$  (ускорению процесса дезактивации) в области высоких энергий возбуждения. Как и следовало ожидать, влияние многоквантовых переходов в целом увеличивается с уменьшением  $\xi_0$ , при этом расширяется и энергетическая область этого влияния. Но максимальный эффект многоквантовых переходов при малых  $\xi_0$  (до нескольких порядков по величине для  $f_i$  на верхних уровнях) наблюдается при  $t \gtrsim 1$ , т. е. в моменты времени, при которых населенность возбужденных колебательных состояний малы. В результате переходы  $i \rightarrow i \pm n$  ( $n > 1$ ) слабо сказываются на релаксации средней энергии. Следует отметить, что оценка влияния многоквантовых переходов, данная выше, справедлива в рамках модельного расчета, а именно, расчета в первом порядке теории возмущений по взаимодействию. Как известно, такой расчет дает несколько заниженные значения вероятностей многоквантовых переходов, поэтому и наши результаты представляют по величине некоторую оценку снизу.

Физическим параметром, определяющим колебательную кинетику, является параметр адиабатичности  $\xi_0$ , а условия применимости диффузионного описания зависят от параметра  $\theta$ . Для реальных систем в области  $\theta \leqslant 1$  характер взаимодействия может меняться от адиабатического ( $\xi_0 \gg 1$ ) до неадиабатического ( $\xi_0 \ll 1$ ).

В результате проведенных расчетов отметим, что для оценки применимости диффузионного описания колебательной кинетики ангармонических осцилляторов в (1.1) следует условие «много меньше» заменить на «меньше и порядка единицы». При адиабатическом взаимодействии ( $\xi_0 > 5$ ) для относительных значений функции распределения (по отношению к значению для гармонических осцилляторов для моментов  $t < \tau_1$  и к равновесному значению для  $t > \tau_1$ ) результаты классического расчета можно переносить на квантовые системы практически без ограничения на величину  $\hbar\omega_0/kT$ . Перенесение результатов классического расчета кинетики на квантовые системы следует производить во временном масштабе  $\tau_1$ ,  $(\tau_1)_{\text{кл}} \neq (\tau_1)_{\text{кв}}$  (энергию  $\varepsilon$ , отсчитывать от нулевого уровня). При  $\xi_0 \leqslant 5$  диффузионный расчет позволяет с достаточной точностью учесть влияние многоквантовых переходов во всей области  $\varepsilon$ , если  $\hbar\omega_0/kT \leqslant 1$ .

Поступила 23 V 1977

#### ЛИТЕРАТУРА

- Сафарян М. Н., Скребков О. В. Кинетика колебательно-поступательного обмена двухатомных молекул — ангармонических осцилляторов в среде инертного газа. — ФГВ, 1975, № 4.
- Сафарян М. Н. Учет ангармоничности колебаний в диффузионной теории колебательной релаксации двухатомных молекул. — «Докл. АН СССР», 1974, т. 217, № 6; Сафарян М. Н. Кинетика колебательно-поступательного обмена двухатомных молекул — ангармонических осцилляторов в среде инертного газа. I. Диффузионное приближение. Кинетическое уравнение. Препринт Ин-та проблем механики АН СССР, 1974, № 41.

3. Сафарян М. Н., Скребков О. В. О классическом (диффузионном) и квантовомеханическом методах расчета кинетики  $V - T$ -обмена и радиационной дезактивации двухатомных молекул. Препринт Ин-та проблем механики АН СССР, 1975, № 56.
4. Ступоченко Е. В., Лосев С. А., Осипов А. И. Релаксационные процессы в ударных волнах. М., «Наука», 1965.
5. Воробьев В. С. О распределении атомов по возбужденным состояниям в отсутствие равновесия.— ЖЭТФ, 1966, т. 51, № 1.

УДК 533.6.011.8

**ЭКСПЕРИМЕНТАЛЬНОЕ ИССЛЕДОВАНИЕ ИСТЕЧЕНИЯ ГЕЛИЯ,  
НЕОНА И АРГОНА В ВАКУУМ  
ЧЕРЕЗ ДЛИННЫЙ ОДИНОЧНЫЙ КАПИЛЛЯР  
ПРИ ТЕМПЕРАТУРАХ 295—490 К**

Б. Т. Породнов, А. Г. Флягин

(Свердловск)

Теоретические и экспериментальные данные, имеющиеся в настоящее время, свидетельствуют о том, что диффузно-зеркальная схема отражения стеклянной падающих на нее молекул, предложенная в работе [1], вполне применима для описания течения разреженных газов в различных капиллярных системах. Поэтому определенный интерес представляют исследования течения разреженных газов в широком интервале температур. Такие исследования позволяют получить дополнительную информацию о характере взаимодействия газа с твердым телом. Изучение зависимости проводимости капиллярных систем от температуры и рода газа, проведенное в области температур 77,2—293 К [2], показывает систематическое уменьшение проводимости капиллярных систем с ростом температуры. Результаты экспериментов при температурах 0—50°С [3] не позволяют обнаружить определенную тенденцию в поведении проводимостей капилляров и пористых образцов при различных температурах, что обусловлено как малым диапазоном использованных температур, так и значительной погрешностью эксперимента. В данной работе приведены результаты исследования истечения газов Не, Ne и Ar в вакуум через длинный стеклянный капилляр методом стационарного потока при температурах 295; 395; 440 и 490 К в диапазоне чисел Кнудсена 4—200.

Исследование истечения газов в вакуум проводилось на экспериментальной установке, принципиальная схема которой изображена на фиг. 1. В качестве рабочего канала использовался стеклянный капилляр 11 с плавлеными стенками диаметром  $(3,40 \pm 0,01) \cdot 10^{-2}$  см и длиной  $\sim 16,6$  см. Капилляр со стеклянной колбой 9 образует рабочую ячейку, помещенную в терmostat 12, представляющий собой медный цилиндр с нагревателем, который включен в систему терmostабилизации 13.

Расход газа в стационарном режиме определялся путем измерения величины перемещения калиброванного штока 4 за некоторый промежуток времени при постоянном давлении газа в системе измерения расхода. Для контроля постоянного значения давления газа в системе измерения расхода и измерения абсолютного давления в колбе использовались емкостные дифференциальные микроманометры с цифровым отсчетом 7 и 8 с датчиками давления 6 и 10 (чувствительность  $\sim 2 \cdot 10^{-7}$  мм рт. ст./Гц). Принцип действия и конструкция микроманометров описаны в [4].

Исследуемый газ из баллона 3 выпускался в систему измерения расхода, узлы которой находятся в терmostатируемой масляной ванне, и через капилляр-натекатель 5 в рабочую ячейку. Давление газа в системе 2 ПМТФ, № 4, 1978